

宮崎大学工学部 正員 藤本 廣、横田 漢
 学生員 ○久富不雅裕、西 剛彦

1. はじめに

しゅうす層の降雨時の安定性を検討する場合、上層のせん断強度は勿論不可欠の要因であるが、それ以前の問題として水の浸透性状の把握が重要である。この場合、浸透現象は不飽和浸透を対象とする必要となり、浸透のフロントにおいてはサクションの影響が重要な因子となる。ところが従来のしゅうす層の土質工学的研究とはこの面からのアプローチが殆んど見られず、残されに研究課題の一つとなっている。筆者の一人(藤本)は、以前、土のせん断変形に伴う骨格構造の変化(ダイレイタシオン)に応じてせん断領域内におけるサクション性状の変動を予想して、不飽和土の有効応力に関連する骨格構造の変動とサクションとの相関性を実験的に検討したことがあるが¹⁾、今回は、上述のように不飽和状態にあるしゅうす層を対象として毛管透水試験による浸透性状とサクションとの相関性を実験的に考察した結果と定性的な段階であるが第1報として報告する。

2. 実験方法

試料には、粒径0.42mm以下に粒度調整した都城地方のしゅうすと、比較のために同地方の火山灰土(黒ボク)を使用した。それらの粒度曲線及び物理的指数をFig. 1に示す。

水平毛管透水試験はFig. 2に示した装置で行い、試験結果の解析はT. W. Lambe²⁾の方法によった。Fig. 2で水頭 h_1 と h_2 は夫々33.5cmと19.7cmで、試料長は26cmである。試料直径は5cmである。試料の間隙比はスプリング

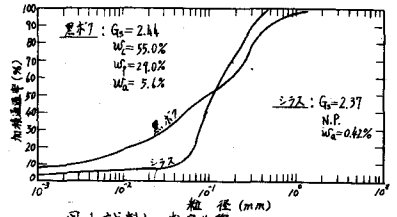


Fig. 1 試料土の粒度曲線

タンパーを用いて締固め回数によって調整した。毛管透水係数 k_c と毛管水頭 h_c の計算は次式による。

$$\left. \begin{aligned} m_1 &= \frac{d_w^2}{d_c^2} = \frac{2k_c}{S_r n} (h_1 + h_c) \\ m_2 &= \frac{d_w^2}{d_c^2} = \frac{2k_c}{S_r n} (h_2 + h_c) \end{aligned} \right\} \text{---(1)}$$

上式で、 m_1 及び m_2 は夫々水頭 h_1 及び h_2 による浸透実験で得られた浸透距離 z と時間 t との関係曲線(Fig. 3参照)の勾配、 S_r は試料の初期飽和度、 n は試料の間隙率である。 k_c は毛管透水係数とLambeにより算出される。

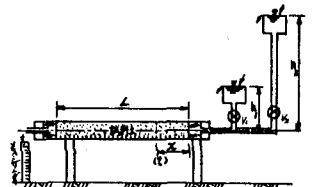


Fig. 2 水平毛管透水試験装置略図

サクションの測定は連心分離法によった。

3. 実験結果と考察

3-1. 毛管透水性状と試料の間隙性状との関係

Fig. 3に水平毛管透水試験によるしゅうすと黒ボクの典型的な z^2-t 曲線を例示した。これによると、自明のことであるが、初期飽和度 S_r 及び間隙比 e が類似の状態でも、間隙径の大小によって浸透速度が程度異なることが判る。因す、この相違を定量的に表現する為に、土壌間隙当量直径 d_v を近似的に表わすジュレンの式³⁾ $d = 0.3 r_c$ ($PF = \log_{10} h$) の r_c の代りに式(1)で求めた毛管水頭 h_c を採用して、Fig. 3に示した z^2-t 曲線比較上の指標程度の意味をもつものとして d に対応する便宜的な間隙当量直径として $d' = \alpha / r_c$ (α は定数) と計算して与ると以下のようになる。しゅうす: $S_r = 0.41\%$, $e = 1.370$ で $d' = 2.57 \times 10^{-2} \text{cm}$, $S_r = 10.1\%$, $e = 1.610$ で $d' = 3.31 \times 10^{-2} \text{cm}$, 黒ボク: $S_r = 11.1\%$, $e = 1.425$ で $d' = 4.2 \times 10^{-2} \text{cm}$ 、この近似式の適用性と係数 α については今後検討する予定である。

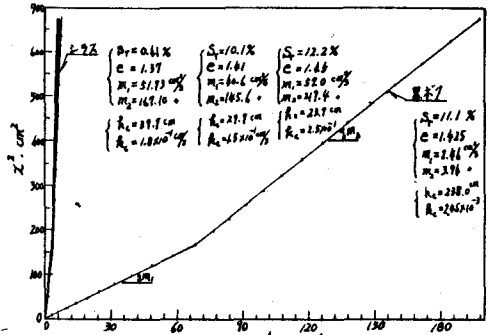


Fig. 3 shyusutoと黒ボクの浸透距離-時間曲線

3-2. pf と初期飽和度との関係

通常、 pf と含水状態との関係は $pf-w'$ (体積含水率) 曲線で表わされるが、ここでは、前項で毛管透過性状が空隙径の大小に強く左右されることが自明なことであるが確認されるので、空隙径の影響を一応無視して pf と飽和度との関係を検討してみる。図4は直線法によって得られたしらすと黒ボクの $pf-S_r$ 関係を示したもので、これによると、同一の pf を示す場合でもしらすの S_r は黒ボクの S_r より 20~30% 低い値を要することが判る。また、しらすの場合、黒ボクに比較して S_r の僅かな変化で pf の値が大きく変動するという砂質土特有の性状が明確に現われている。

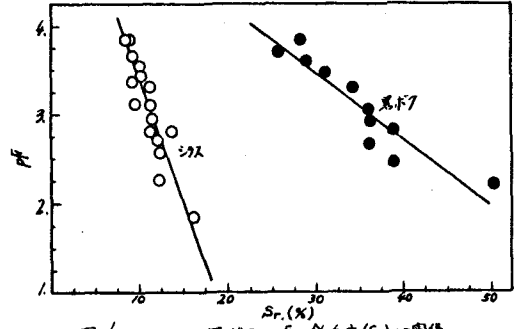


図4. シラスと黒ボクの pf と飽和度 (S_r) の関係

3-3. 毛管水頭 h_c と飽和度及空隙率との関係

図5にしらすの毛管水頭 h_c と体積含水率 ($w' = \frac{V_w}{V} = \frac{V_w}{V} = S_r \cdot n$) との関係を示す。これによると、 h_c と w' との間には、ほぼ、 $h_c = a - b \log_e w'$ の関係があることが認められる。上式で a と b は定数である。だが、現在、 $w' = 10^{-2}$ 前後における h_c を補完するための実験を行っている。

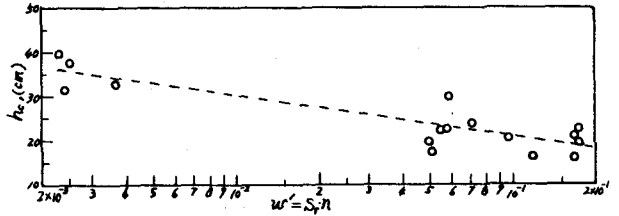


図5. シラスの毛管水頭 (h_c) と体積含水率 (w') の関係

h_c と S_r の空隙比との関係は夫々独立に求めると図6のようになる。これから、 h_c は S_r の増大に対して直線的に減少する傾向があることが判るが、 S_r の増大に対してはその傾向は明確でない。

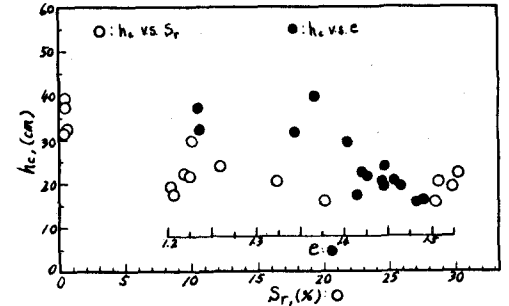


図6. シラスの h_c と飽和度 (S_r) の関係

3-4. 毛管透過性と pf の関係

水平毛管透過試験で求めた毛管透水性係数 k_c と pf との関係はプロットすると図7のようになる。図から、 pf に逆比例的に k_c の値が低下する傾向にあることが判るが、これにより、干飽和浸透にかけるグレイソンの因子程度が推測されるようである。この点も今後の検討課題である。

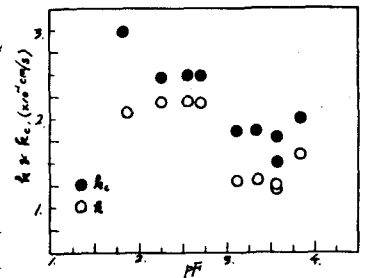


図7. シラスの k_c と pf の関係

3-5. 毛管水頭と pf との関係

常識的にも pf と毛管透過試験で求められる h_c との間には比例的な関係が保たれることが予測されるが、あらゆる両者の関係をプロットしたのが図8である。図で、高線と図う下枠内のデータは S_r と e の値が検討の対象とはならないもので、これらのデータを除いて S_r と h_c の同等のものとの連ねると点線を示した直線関係が求められる。

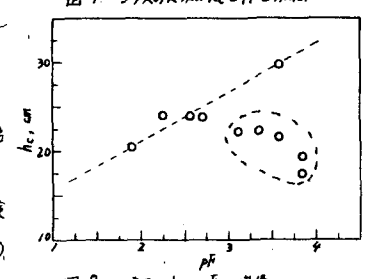


図8. シラスの h_c と pf の関係

4. あとがき

第1報にて極小定性的に示した干飽和浸透現象を対象として毛管透過試験でグレイソンの測定結果との相関性を求めた。その結果、毛管透過試験と毛管水頭 h_c と含水率 w' との相関性、毛管透水性係数 k_c と pf との相関性、 h_c と pf との相関性が確認された。今後、この相関関係を h_c と pf の関係問題への活用を検討予定である。

参考文献: 1) 藤平康雄: 土のグレイソンに関する一考察、土木学会第49回年次学術大会論文集(1974)
2) I.W. Lambe: Capillary Phenomena in Cohesionless Soils, Proc. ASCE, Vol. 76, No. 2, 1950, 3) 環境工学 土壌調査と評価, (1974)